

# Термодинамические свойства оксида алюминия по данным расчётов методами теории функционала плотности

19-23 мая 2025 г.

XVII Международная конференция «Забабахинские научные чтения»

Рыкунов Алексей Александрович

## Введение



В численном моделировании физических экспериментов при экстремальных условиях необходимо располагать надёжными термодинамическими данными для простых веществ и их смесей. Совокупность этих данных для различных фаз составляют уравнение состояния (УРС).

Различные области фазовой диаграммы не вполне равноценны с точки зрения сложности теоретических расчётов термодинамических свойств. Наибольшие затруднения возникают в области тёплого плотного вещества (WDM), которому соответствует диапазон температур T  $\sim$  1÷10 эВ и относительных плотностей  $\rho/\rho_0$   $\sim$ 1÷10.

Для расчётов УРС в области WDM на данный момент широко используется метод квантовой молекулярной динамики (КМД) [1].

# Актуальность работы



Одной из проблем метода КМД является высокая точность лишь до температур порядка энергии Ферми (несколько эВ) при плотностях, близких к нормальным, из-за резкого увеличения числа зон, которые необходимо явно учитывать с ростом температуры.

Из-за этого при создании УРС невозможно пересечься с данными, полученными по менее теоретически строгим, но более вычислительно эффективным приближениям, например, модели среднего атома Либермана, реализованной в программе RESEOS [2].

Область «сшивки» является чисто математической конструкцией, и участок фазовой диаграммы в диапазоне температур порядка ~10÷100 эВ при относительных плотностях ~0.1÷10 остаётся слабо исследованным. Кроме того, калибровка модели среднего атома, а именно выбор конкретной формы для ионной компоненты становится не вполне однозначной.

<sup>2.</sup> RESEOS – a model of thermodynamic and optical properties of hot and warm dense matter / A.A. Ovechkin, P.A. Loboda, V.G. Novikov et al // HEDP – 2014. – V. 13. № 1. – P. 20-33

#### Теоретические модели



Для решения указанной проблемы в настоящее время активно развивается метод псевдоатомной молекулярной динамики (ПАМД) [3]. К сожалению, метод ПАМД не является вариационным для обобщённой задачи поиска собственных значений при конечных температурах, что ограничивает его физическую точность.

Альтернативой является использование обобщённого метода квантовой молекулярной динамики (ОКМД) [4, 5]. Этот подход позволяет проводить расчёты при значительно более высоких по сравнению с методом КМД температурах при сопоставимых вычислительных затратах и переходит в «обычный» метод КМД в пределе низких температур.

<sup>3.</sup> Equation of state modeling with pseudoatom molecular dynamics / A.A. Ovechkin, P.A. Loboda, A.L. Falkov, P.A. Sapozhnikov // Phys. Rev. E – 2021. – V. 103. – P. 053206.

<sup>4.</sup> Extended application of Kohn-Sham first-principles molecular dynamics method with plane wave approximation at high energy – From cold materials to hot dense plasmas / Sh. Zhang, H. Wang, W. Kang et al // Phys. Plasmas – 2016. – V. 23. – P. 042707.

<sup>5.</sup> Extended first-principles molecular dynamics model for high temperature simulations in the Abinit code: Application to warm dense aluminum / A. Blanchet, J. Clérouin, M. Torrent, F. Soubiran // Comp. Phys. Commun. – 2022. – V. 271. – P. 108215.

# Методы КМД и ОКМД



В методе **КМД** быстро движущиеся электроны рассматриваются как квантовые частицы, а ионы — как классические. Для первых решаются одноэлектронные уравнения, предложенные Коном и Шэмом, тогда как для вторых — уравнения движения Ньютона, в которых сила определяется по теореме Гельмана-Фейнмана, обобщённой на случай конечных температур. Время расчёта по КМД пропорционально  $N^3$  (N — число зон), поэтому выше  $T_F$  проведение массовых расчётов нецелесообразно (или недостаточно точно).

В основе метода **ОКМД** лежит тот факт, что высокоэнергетические зоны сходны с плоскими волнами, и плотность электронных состояний системы при высоких температурах близка к плотности состояний ферми-газа с некоторым сдвигом по энергии  $U_0$ , подлежащим определению, то есть рассматривается комбинация дискретных уровней при низких энергиях и континуума при высоких энергиях

## Ограничения модели



#### I. «Наследие» метода КМД

- 1. Форма обменно-корреляционного функционала.
- 2. Выбор параметров псевдопотенциала
- 3. Шаг движения ионов, их число в ячейке, термостат.
- 4. Число зон



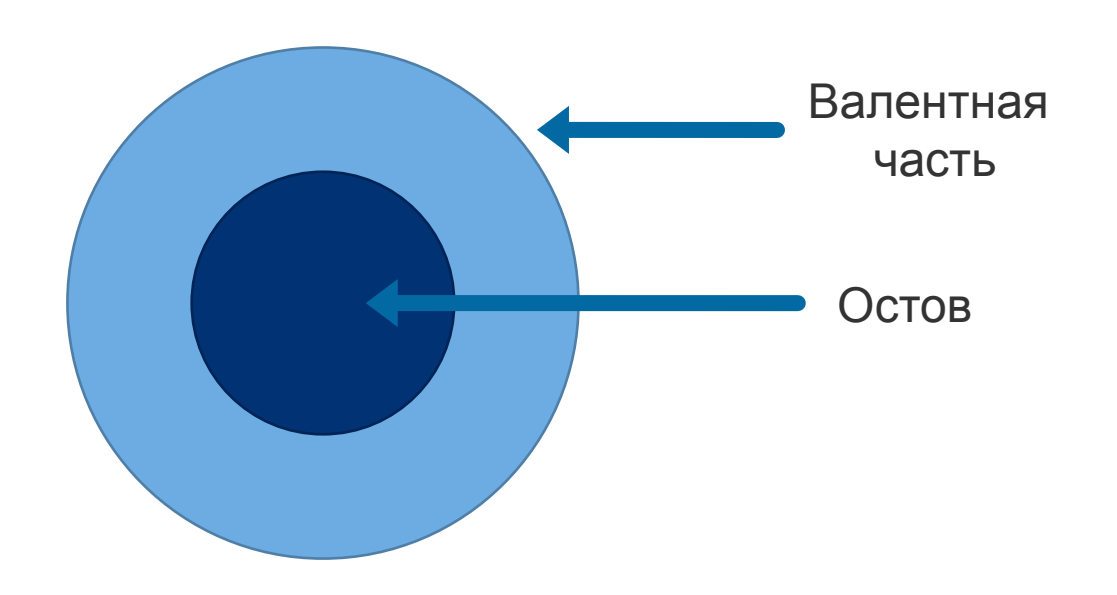
#### II. Собственные ограничения метода ОКМД

- 1. Разбиение ПП на локальную и нелокальную части.
- 2. Разбиение спектра на дискретную и континуальную части



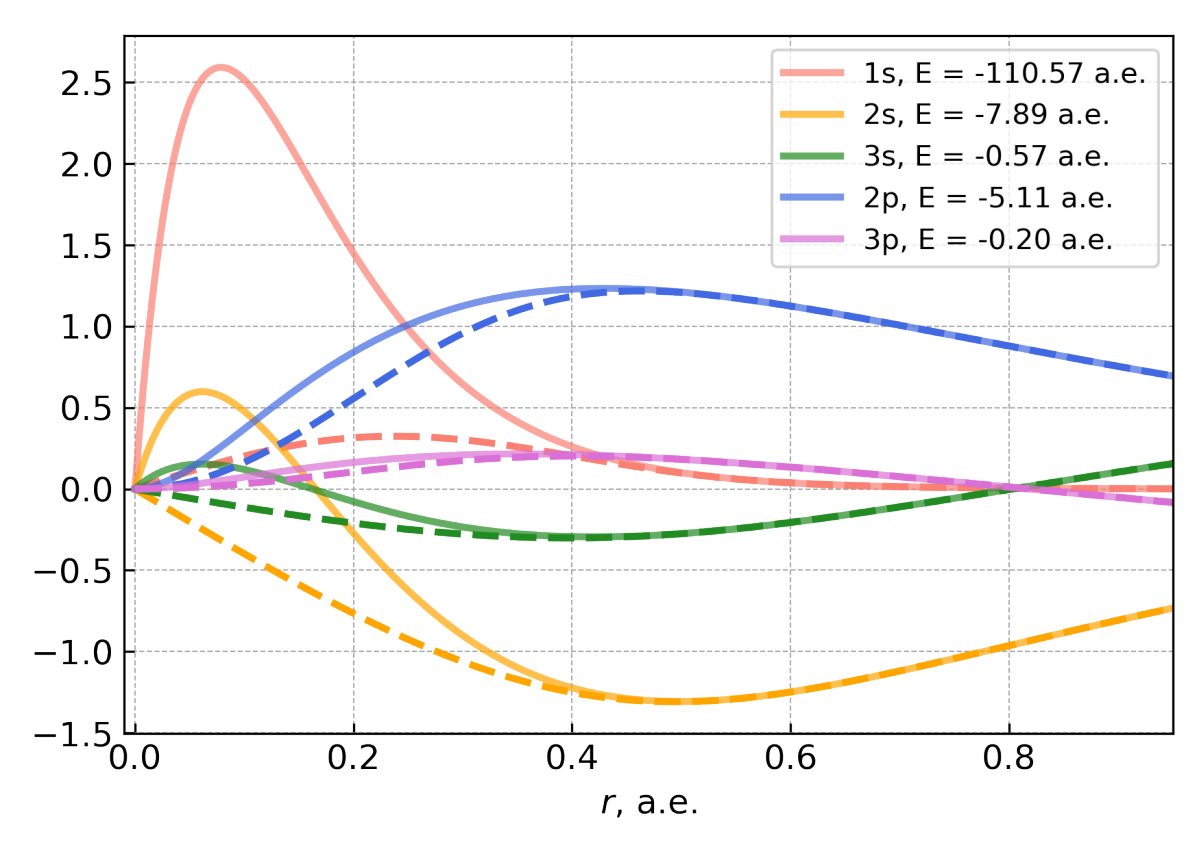
# Несколько слов о псевдопотенциалах





Особенность ОКМД в том, что валентная часть ПП обычно содержит гораздо больше электронов, чем в методе КМД. Отсюда:

- Нужны большие базисные наборы.
- Ухудшается сходимость.
- Создание хороших многоэлектронных ПП для тяжёлых элементов искусство.



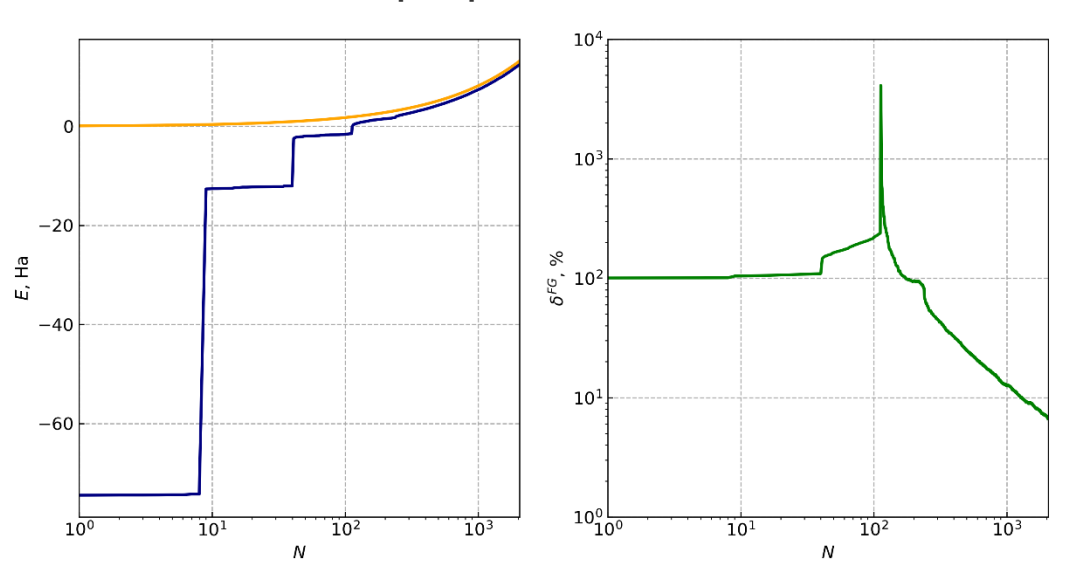
Истинные и псевдопотенциальные волновые функции в атоме алюминия

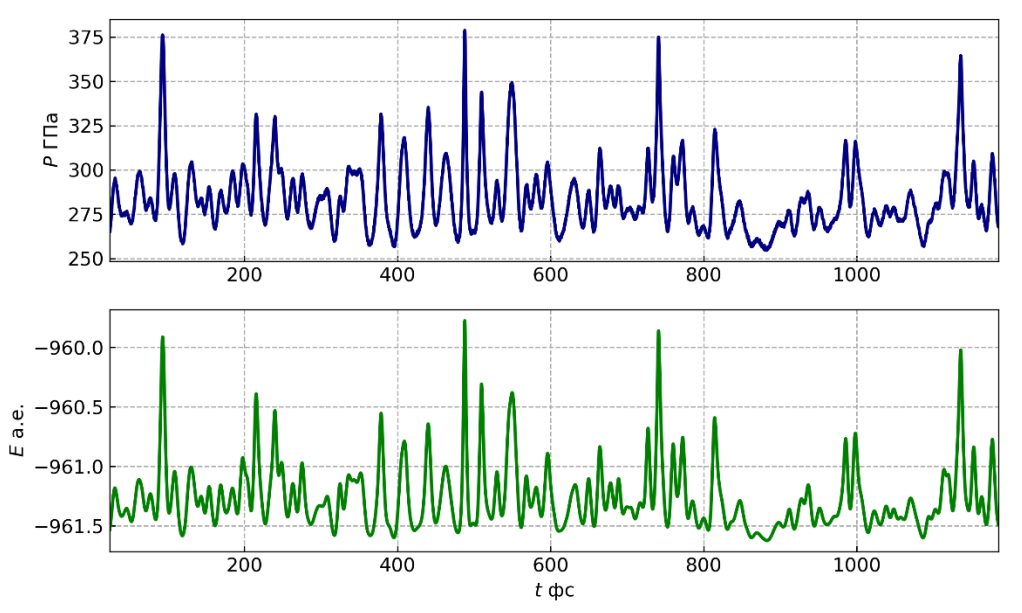
# Программы, инструментарий



Для ОКМД расчётов используется программа **Ablnit** [6] версии 10.2.5. Для создания псевдопотенциалов используется программа **AtomPAW** версии 4.2.0.2 [7].

#### Собственные программы для анализа и постпроцессинга:





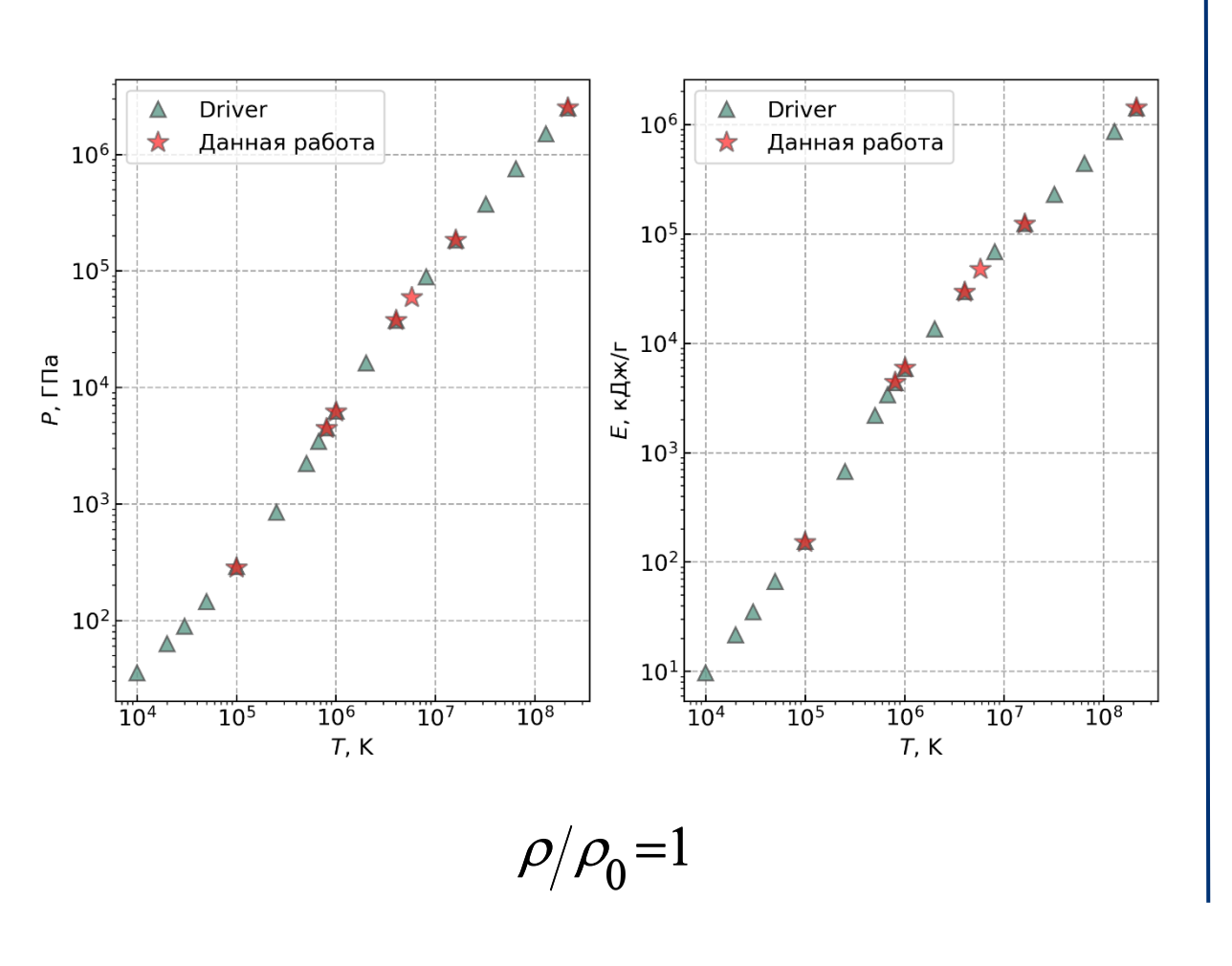
abieig — разбиение спектра, анализ ошибки

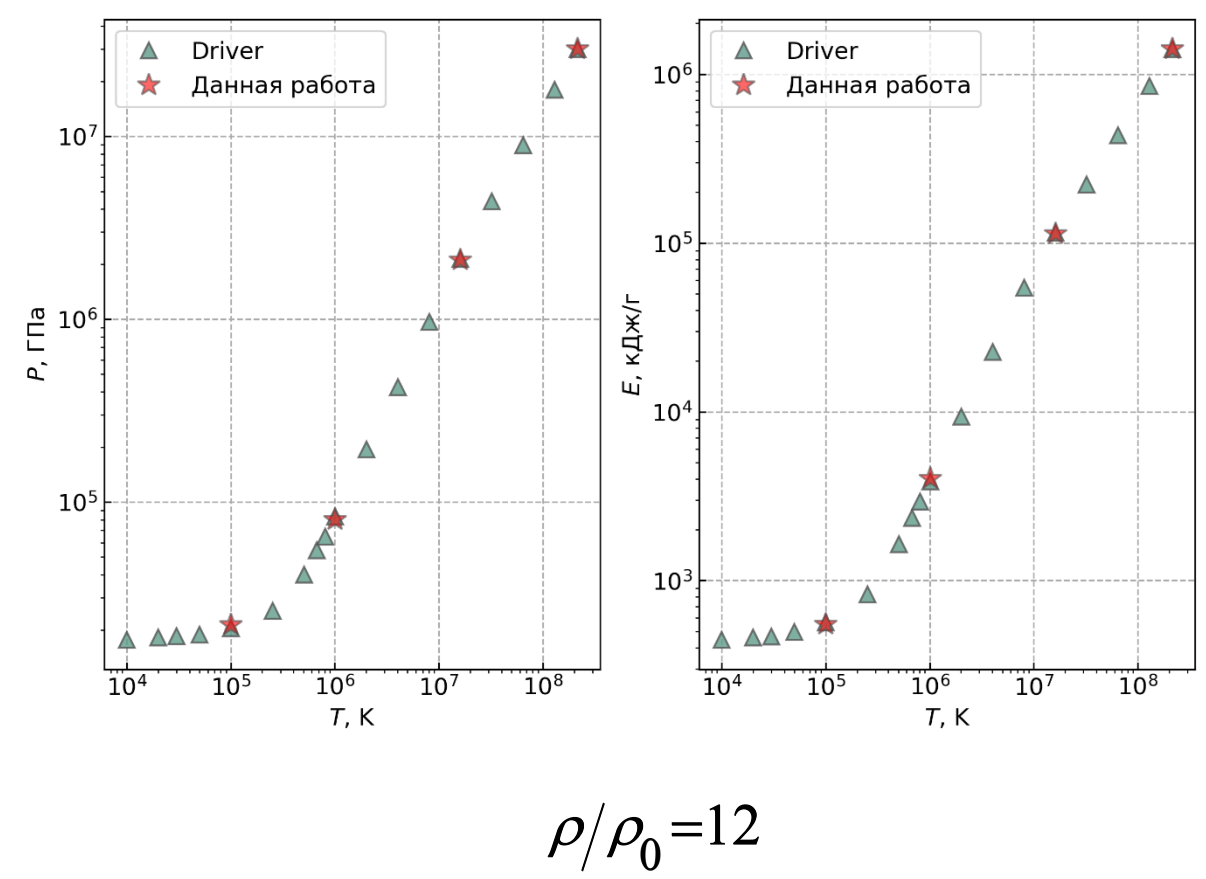
abimd - анализ траектории ОКМД

<sup>6.</sup> ABINIT: First-principles approach of materials and nanosystem properties / X. Gonze, B. Amadon, P.-M. Anglade et el // Computer Phys. Comm. – 2009. – V. 180, № 12. – P. 2582-2615.

# Изохоры алюминия

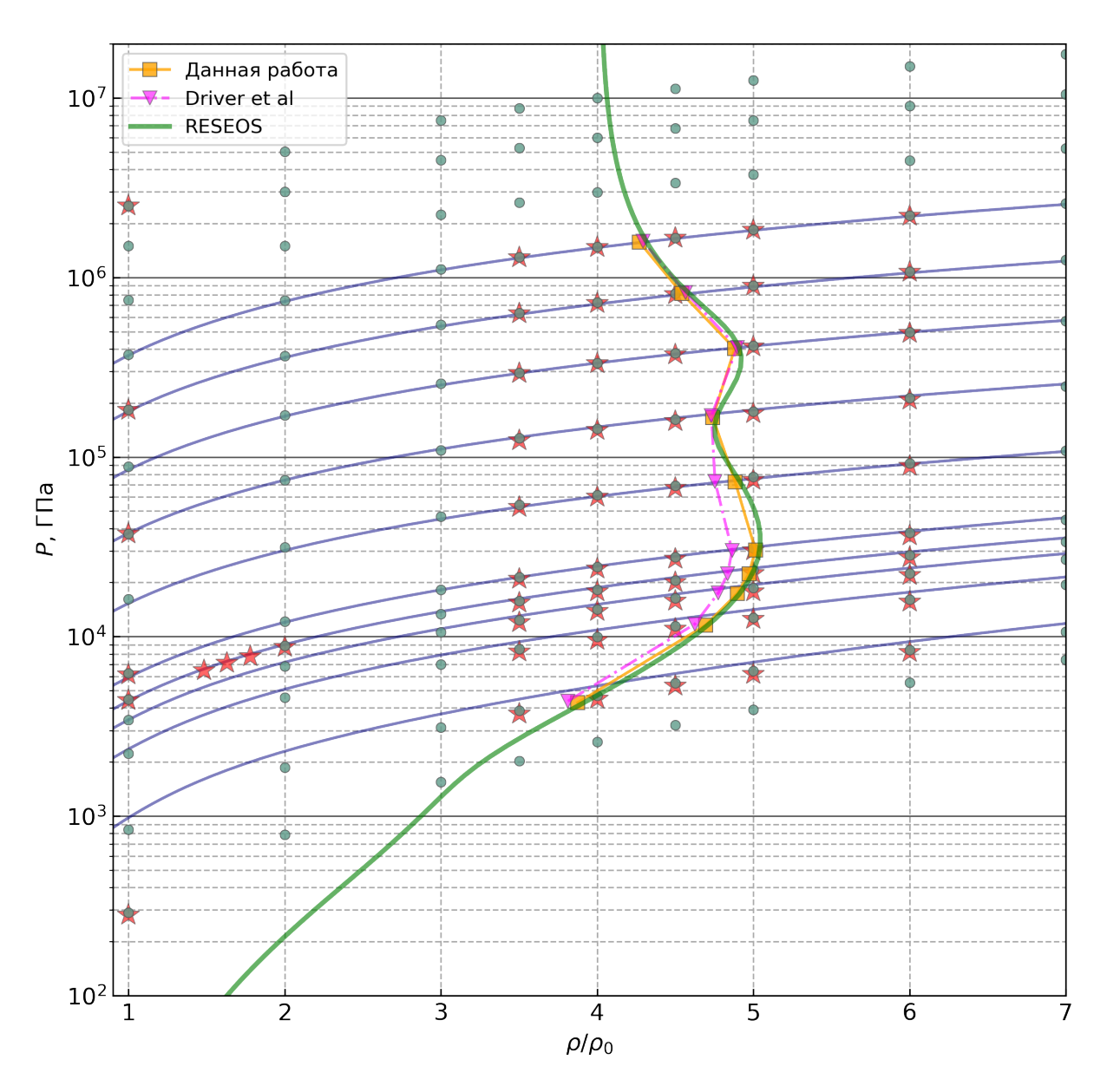






# Ударная адиабата алюминия





#### Оксид алюминия

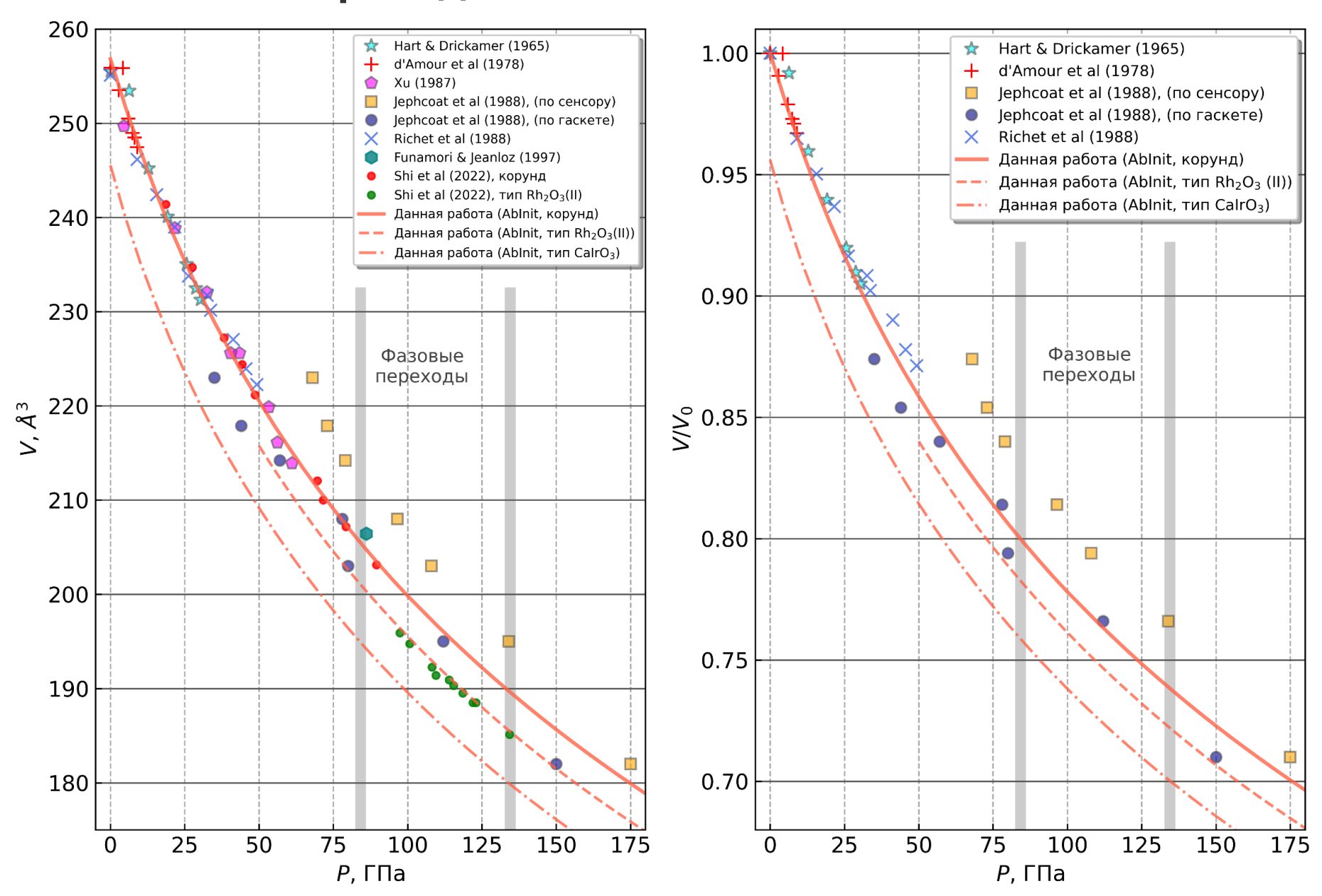


Оксид алюминия (III) встречается в природе в виде минерала корунда, а также ряда драгоценных камней, таких как рубин и сапфир. Это соединение находит широкое применение в физике как абразив, сенсор в экспериментах по статическому сжатию, материал экранов при исследовании ударно-волновых свойств.

Свойства оксида алюминия были исследованы методами теории функционала плотности. Рассчитаны нулевые изотермы **четырёх фаз**  $Al_2O_3$ : корунда, типа  $Rh_2O_3$  (II), типа  $CalrO_3$  и типа  $U_2S_3$ . В хорошем согласии с экспериментами и расчётами других авторов предсказаны давления фазовых переходов.

Для ОКМД моделирования оксида алюминия (III) было создано два набора псевдопотенциалов алюминия и кислорода: не включающие *K*-оболочку (11e-6e) и включающие (13e-8e).

# Фазовые переходы





Hart & Drickamer // J. Chem. Phys. – 1965. – V. 43. – P. 2265-2266.

d'Amour H. et al // J. Appl. Phys. – 1978. – V. 49. – P. 4411-4415.

Jephcoat A.P. et al // Physica B – 1988. – V. 150. – P. 115-121.

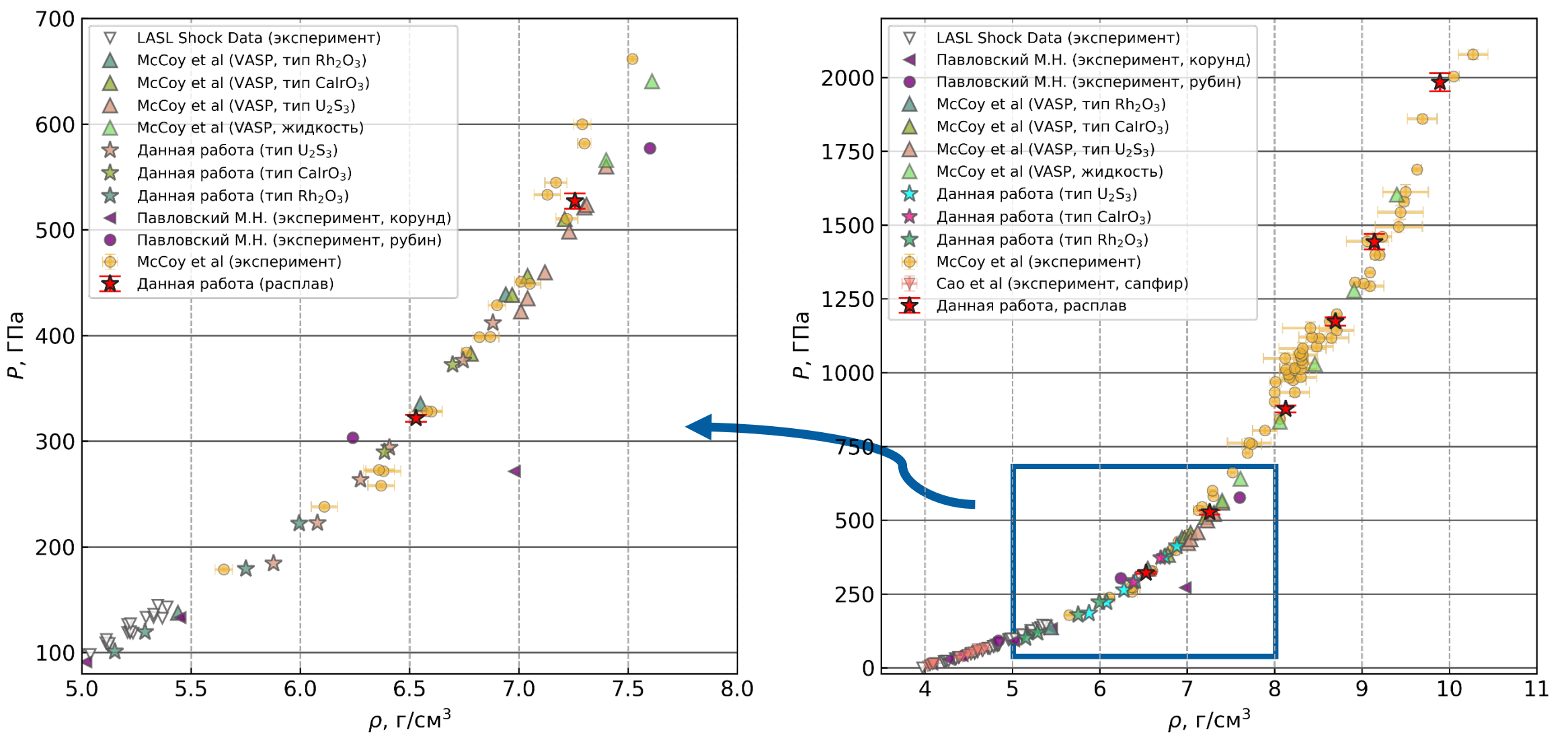
Richet P. et al // Phys. Chem. Minerals – 1988. – V. 16. – P. 207-211.

Funamori & Jeanloz // Science – 1997. – V. 278. – P. 1109-1111.

Shi et al // J. Geophys. Res.: Solid Earth – 2022. – V. 127. P. e2021JB023805.

# Ударная адиабата (нижняя область)





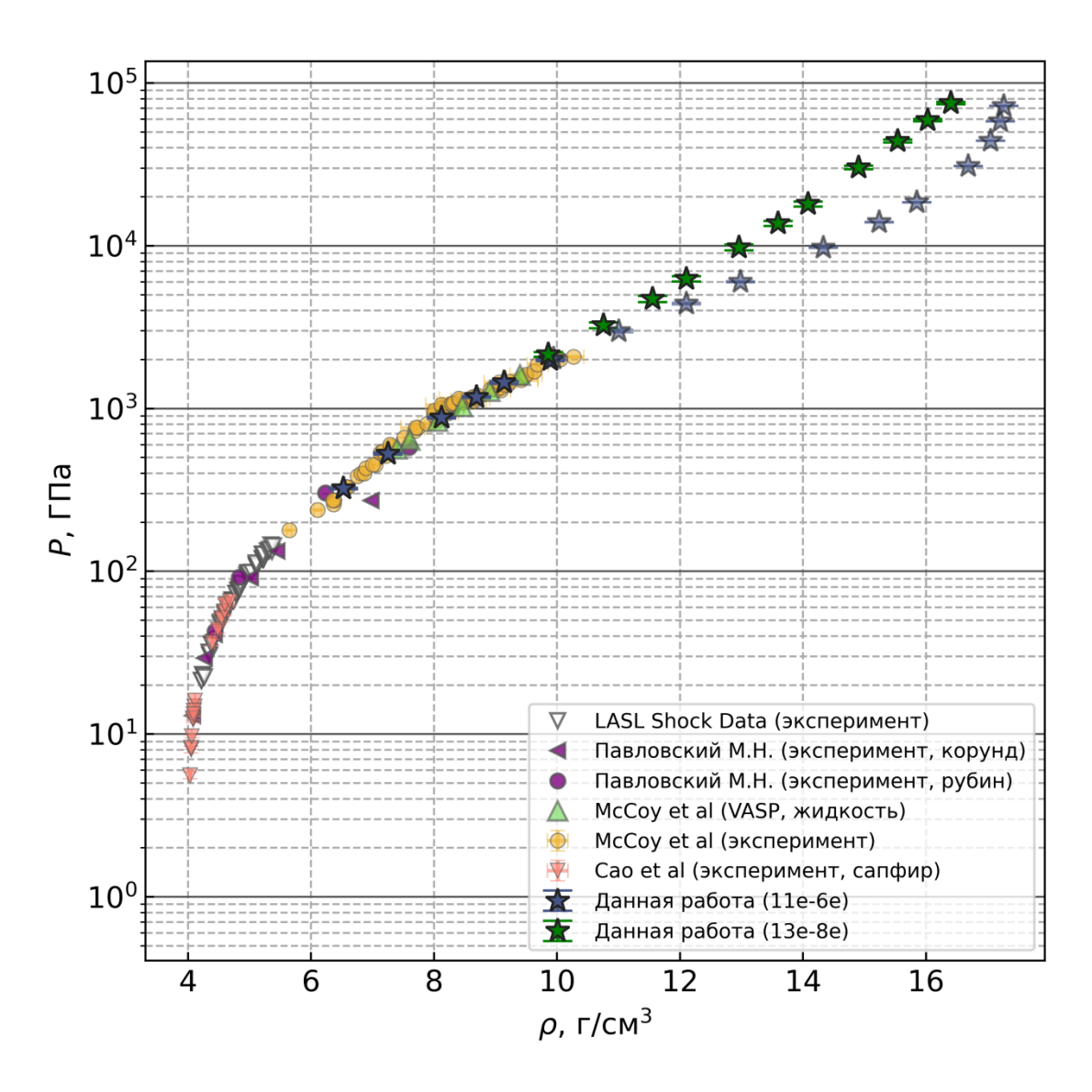
Павловский М.Н. и др. // ФТТ – 1970. – Т. 12. – С. 2175-2178. McCoy C.A. et al // Phys. Rev. B – 2023. – V. 107. – Р. 214102.

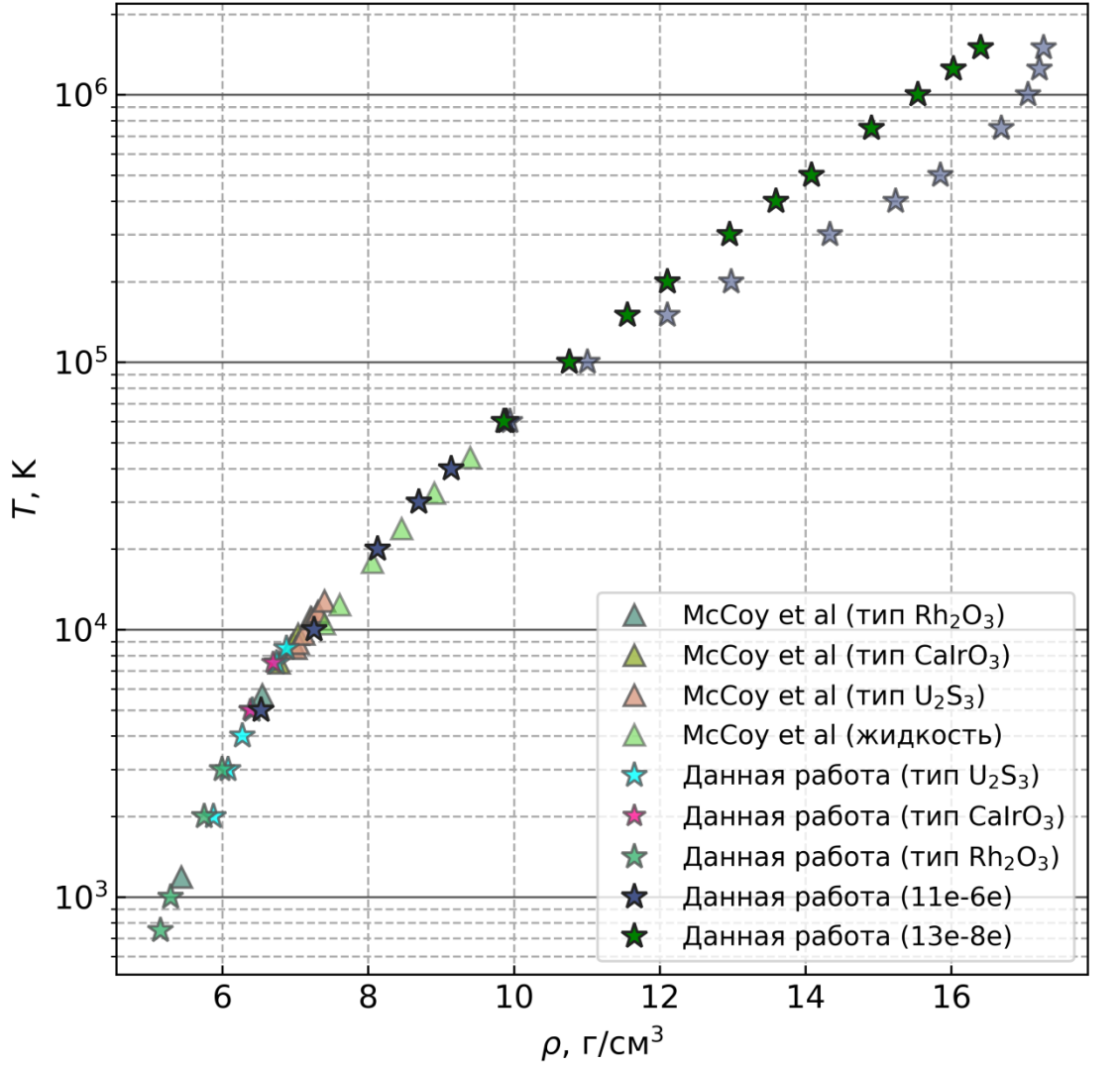
Cao et al // J. Appl. Phys. – 2014. – V. 116. – P. 093516.

Marsh S.P. LASL Shock Hugoniot Data. Univ. of California Press, 1980

# Ударная адиабата







#### Заключение



- 1. В докладе представлен обобщённый метод квантовой молекулярной динамики и исследованы его ограничения.
- 2. Представлены результаты расчётов по методу ОКМД металлического алюминия. Они находятся в хорошем согласии с данными расчётов по квантовому методу Монте Карло и одноцентровой модели Либермана, реализованной в программе RESEOS.
- 3. Представлены результаты расчётов статического и динамического сжатия оксида алюминия (III). Эти данные, а также давления фазовых переходов, находятся в хорошем согласии с экспериментами и расчётами других авторов, что свидетельствует о надёжности построенного уравнения состояния в области тёплого плотного вещества.

# Спасибо за внимание!